

BELİRSİZLİK İÇEREN TEK - EKLEMLİ BİR ROBOT KOLUNUN H_∞ KONTROLÜ

Tülay AKBEY

Ahmet UÇAR

Elektrik-Elektronik Mühendisliği Bölümü

Mühendislik Fakültesi

Fırat Üniversitesi, 23119, Elazığ

e-posta: takbey@firat.edu.tr

e-posta: aucar1@firat.edu.tr

Anahtar Kelimeler: Belirsizlik İçeren Sistemler, Robot Kolu, H_∞ Kontrol

ÖZET

Bu çalışmada belirsizlik içeren bir robot kolunun kontrolü yapılmıştır. Kontrolör olarak klasik ve modern kontrol tekniklerinin avantajlarını bünyesinde bulunduran H_∞ kontrolör seçilmiştir. Özellikle belirsizlik içeren sistemler için geliştirilen H_∞ kontrolör, birçok pratik problemde kullanılan ve hedeflenen duyarlılık fonksiyonunu temel olarak dizayn edilmesine olanak veren Matlab' taki Robust Control Toolbox (RCT)' u kullanılarak yapılmıştır. H_∞ kontrolörün performansı diğer optimal geri beslemeli kontrolörlerin performansı ile karşılaştırılmıştır. Ayrıca H_∞ kontrolörün dizaynını kolaylaştırmak için dizayn aşamalarını esas alan ve açıkça belirten basit bir akış diyagramı verilmiştir.

$$y = [1 \quad 1] \begin{bmatrix} x_1 \\ x_2 \end{bmatrix} \quad (2)$$

dir. Denklem (1)' de verilen sistem parametreleri: $M=0.2\text{kg}$, $l=0.25\text{m}$, $D=1\text{Ns}$, $g=9.8 \text{ m/s}^2$ ve kütledeki değişim aralığı $0 \leq \Delta M \leq 0.3 \text{kg}$ ' dir. Sistemdeki doğrusal olmayan eleman orijine göre doğrussallaştırılırsa, $\sin x_1 \equiv x_1$ ve ΔM ' deki maksimum değer alınırsa, sistemin nominal modeli denklem (3)' teki gibi olur.

$$\begin{bmatrix} \dot{x}_1 \\ \dot{x}_2 \end{bmatrix} = \begin{bmatrix} 0 & 1 \\ 29.4 & -24 \end{bmatrix} \begin{bmatrix} x_1 \\ x_2 \end{bmatrix} + \begin{bmatrix} 0 \\ 24 \end{bmatrix} u \quad (3)$$

Burada kontrolör u öyle seçilmelidir ki tek-eklemlı robot kolunun kütiesindeki parametre değişimine karşı geri beslemeli sistem dayanıklı ve hedeflenen optimal performansları; en kısa sürede açısal pozisyon referansına sınırlı bir kontrol enerjisiyle ulaşın. Bu amaç için genellikle Lyapunov temelli hesaplanmış moment kontrolü yada kayma mod kontrolü dizayn edilir [6], [3]. Bunlarla beraber katsayı diyagramı temelli kontrolör de robotik sistemler için dizayn edilmektedir [5]. Bu çalışmada adaptif olarak robotik sistemler için kullanılabilen H_∞ kontrolör denklem (1)' de matematiksel modeli verilen tek-eklemlı robot kolu için dizayn edilecektir [7].

1. GİRİŞ

Robotik sistemlerdeki belirsizliğe karşı dayanıklı kontrolör dizaynı önemli bir problemdir [1]. Bir robot kolunda belirsizlik genellikle kolun aldığı yükteki belirsizlik olarak tanımlanır. Robot kolunda kullanılacak kontrolörün sistemdeki yükün değişimine karşı duyarlılığının az olması istenir. Bu amaçla çeşitli gürbüz kontrolörler robot kolu için geliştirilmiştir [1]-[5].

1.1. Tek-Eklemlı Robot Kolunun Dinamiği

Viskoz sönüm katsayısı D , atalet momenti I , kütlesi M belirsizliği ΔM olan ve nonlineer terim $f(x_1) = (\Delta M + M)gl \cdot \sin x_1$ olmak üzere tek-eklemlı bir robot kolunun durum-uzay formundaki matematiksel modeli,

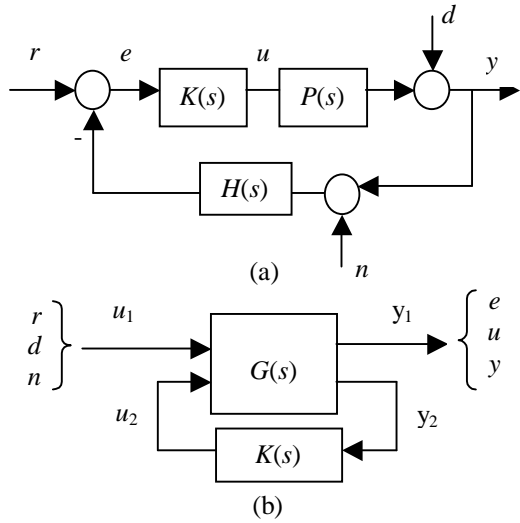
$$\begin{bmatrix} \dot{x}_1 \\ \dot{x}_2 \end{bmatrix} = \begin{bmatrix} 0 & 1 \\ 0 & -D/I \end{bmatrix} \begin{bmatrix} x_1 \\ x_2 \end{bmatrix} + \begin{bmatrix} 0 \\ 1/I \end{bmatrix} u + \begin{bmatrix} 0 \\ 1/I \end{bmatrix} f(x_1) \quad (1)$$

dir. Burada $I = 4Ml^2 / 3$ ve x_1 , x_2 durum değişkenleri olup sırasıyla robot kolunun yatay eksenle yaptığı açısal yer değiştirmeye ve hızdır. Her iki durum değişkeninin çok iyi ölçüldüğü kabul edilirse sistemin çıkış denklemi,

2. H_∞ KONTROL

Şekil 1. (a)' da bozucu ve gürültü etkisindeki geri beslemeli bir kontrol sistemi verilmiştir. Burada r referans, e hata, u kontrol, d bozucu ve n ise gürültü sinyalleridir. $P(s)$ sistem, $H(s)$ ölçme devresi ve $K(s)$ kontrolörün transfer fonksiyonudur. Şekil 1. (a)' da verilen sistemde r , d ve n giriş ve e , u ve y çıkış olarak alınırsa sistem şekil 1. (b)' deki gibi çok girişi çok çıkışlı (ÇGÇÇ) bir forma gelir. Bu formda referans girişi r , bozucu d ve sensör gürültülerini gösteren n yeni sistem girişlerinden biri olan u_1 ' i ve diğer giriş u_2 ise kontrol sinyalini göstermektedir. Şekil 1. (b)' deki y_1 kontrol edilecek sinyal/sinyalleri ve varsa durum değişkenleri üzerindeki fiziksel sınırlamaların

yapıldığı yeni çıkış değişkenidir. y_2 ise kontrolör dizaynı için gerekli olan ve ölçülebilen durum değişkenleridir.



Şekil 1: a) Bozucu ve gürültü etkisinde bir TGTÇ geri beslemeli kontrol sistemi, b) (a) şeclindeki sistemin H_∞ kontrolör için standart formu.

Burada $H(s)=1$ olarak alınırsa her bir çıkışın girişe göre kapalı-çevrim transfer matrisleri,

Duyarlılık fonksiyonu;

$$\frac{Y(s)}{D(s)} = S(s) = (I + P(s)K(s))^{-1} \quad (4)$$

Tamamlayıcı duyarlılık fonksiyonu;

$$\frac{Y(s)}{R(s)} = T(s) = P(s)K(s)(I + P(s)K(s))^{-1} \quad (5)$$

Genel adı yok;

$$\frac{Y(s)}{N(s)} = K(s)(I + P(s)K(s))^{-1} \quad (6)$$

dir. Kontrolör, şekil 2' de verilen $S(s)$ duyarlılık ve $T(s)$ tamamlayıcı duyarlılık fonksiyonları temel alınarak hedeflenen performansı sağlamak için y_1 üzerinde tanımlanan ağırlık fonksiyonlarının tanımlanmasıyla dizayn edilir.

Şekil 1. (b)' deki $G(s)$ genelleştirilmiş sistemin (2,2)' lik bir transfer matrisi ve $K(s)$ ise dizayn edilecek kontrolördür. Bu durumda şekil 1. (b)' deki sistem için çıkışlar-girişler transfer fonksiyonu denklem (7)' deki gibi tanımlanmıştır [8].

$$\begin{aligned} y_1 &= G_{11}u_1 + G_{12}u_2 \\ y_2 &= G_{21}u_1 + G_{22}u_2 \\ u_2 &= K(s)y_2 \end{aligned} \quad (7)$$

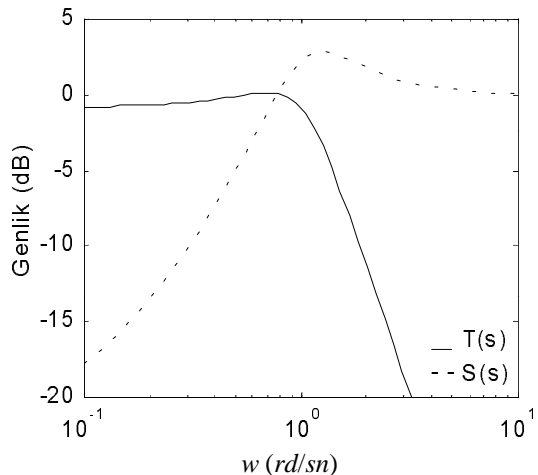
Hedeflenen performansı sağlayacak şekilde regüle edilmiş y_1 çıkışı ile sistem girişi u_1 arasındaki kapalı çevrim transfer fonksiyonu,

$$T_{y_1u_1} = G_{11}(s) + \frac{G_{12}(s)}{(I - K(s)G_{22}(s))} K(s)G_{21}(s) \quad (8)$$

dir. Burda hedef, $\gamma > 0$ küçük skaler bir değer olmak üzere $K(s)$ kontrolörü öyle dizayn edilmelidir ki kapalı çevrimli sistem kararlı olsun ve kapalı çevrim transfer fonksiyonunun H_∞ normu,

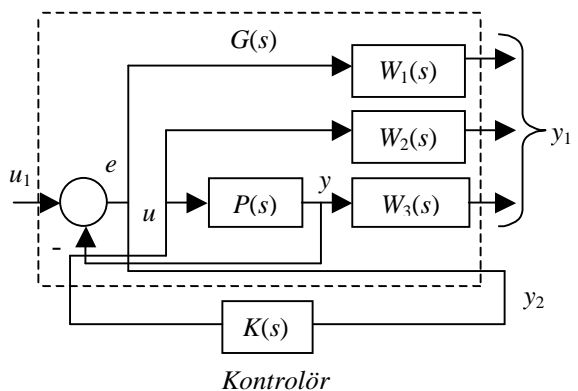
$$\|\gamma^{-1} T_{y_1u_1}\|_\infty \leq 1 \quad (9)$$

esitliğini sağlasın. Bunu sağlamak için [9]' da önerilen, bir uyu sisteminin yörüngé kontrolünde kullanılan, sadece Matlab RCT' ye [10] gereksinim duyan ve literatürde *Mixed-Sensitivity Approach* olarak anılan şekil 3' teki teknik kullanılacaktır.



Şekil 2: Tipik duyarlılık ve tamamlayıcı duyarlılık fonksiyonları.

Şekil 3' teki sisteme regüle edilen çıkış y_1 ile sistem girişi u_1 arasındaki denklem (8)' de verilen kapalı çevrim transfer fonksiyonu $T_{y_1u_1}$ şimdiden



Şekil 3: Mixed-sensitivity tekniginin blok diyagramı.

$$T_{y_1 u_1} = \begin{bmatrix} W_1 S \\ W_2 K S \\ W_3 T \end{bmatrix} \quad (10)$$

olarak W_1 , W_2 ve W_3 ağırlık fonksiyonları ve $|S| \leq W_1^{-1}$, $|KS| \leq W_2^{-1}$, $|T| \leq W_3^{-1}$ ile sınırlanmış bir forma gelir. Burada hedef: şekil 2'yi kullanarak e hata sinyalini sınırlayan W_1 , u kontrol sinyalini sınırlayan W_2 ve y çıkış sinyalini sınırlayan W_3 'ün denklem (9)'da ki şartı sağlayacak şekilde seçmektir. Seçilen ağırlık fonksiyonları ile sistemin bileşiminden oluşan ve şekil 1. (b)'de verilen sistemin genelleştirilmiş transfer matrisinin RCT 'nin kullanımına olanak sağlayan formu,

$$G(s) = \begin{bmatrix} A & B_1 & B_2 \\ C_1 & D_{11} & D_{12} \\ C_2 & D_{21} & D_{22} \end{bmatrix} \quad (11)$$

birimde olur.

2.1. Ağırlık Fonksiyonlarının Seçimi

Yukarıda belirtilen W_1 , W_2 ve W_3 ağırlık fonksiyonları, [11]'de önerilen ve yukarıda bölüm 1.1'de matematiksel modeli verilen tek-eklemlı robot kolunda istenilen performansa uygun seçilecektir. Ancak bu ağırlık fonksiyonlarının genel olarak nasıl seçileceğini [8]-[11] referansları kullanılarak önce verilecek ve dizayn için basit bir akış diyagramı önerilecektir.

$W_1(s)$ ağırlık fonksiyonu: $W_1(s)$, şekil 2'nden çizilen $S(s)$ duyarlılık fonksiyonundan yararlanarak bozucunun etkin olduğu frekansta etkisini azaltmak üzere ve $|S| \leq W_1^{-1}$ sağlayacak şekilde aşağıdaki değerler $S(s)$ 'ten okunarak seçilir. Bu yüzden,

1. Hedeflenen $S(s)$ 'te ω_s bant genişliği,
2. Verilen probleme göre hedeflenen sürekli durum hatası A ,
3. Hedeflenen $S(s)$ 'in maksimum pik genliği $\|S(s)\|_\infty \leq M$.

okunur ve bu değerlere göre,

$$W_1(s) = \gamma \frac{s/M + \omega_s}{s + \omega_s A} \quad (12)$$

oluşturulur. Dikkat edilirse $1/W_1(s)$ düşük freksnlarda A 'ya, yüksek freksnlarda ise M 'e eşittir ve asimptot ω_s freksnsinda 0 dB'ı geçen bir özelliğe sahip olduğu görülür.

$W_2(s)$ ağırlık fonksiyonu: $W_2(s)$ ağırlık fonksiyonu giriş sinyalinin türüne ve istenilen performansa göre

kontrol sinyalinin genliğini sınırlayacak şekilde seçilir. $W_2(s)$ 'in çok geniş seçilmesi kontrol işaretini çok iyi sınırlar. Ancak kapalı çevrim transfer fonksiyonu $T(s)$ 'in bant genişliğini azaltır. Bu nedenle kontrol işaretinin fiziksel sınırları göz önünde bulundurularak uygun bir $W_2(s)$ seçilir [11].

$W_3(s)$ ağırlık fonksiyonu: Hedeflenen kapalı çevrim transfer fonksiyonun özelliklerine göre $W_3(s)$ ağırlık fonksiyonunun genlik geçiş frekansındaki eğim (roll-off rate) 20-40 dB/dec olacak şekilde seçilir. Yapısal olarak $W_3(s)$ genellikle uygun olmayan bir transfer fonksiyonudur. Fakat $W_3(s)G(s)$ ise uygun transfer fonksiyonu olduğundan dolayı fiziks olarak gerçekleştirilebilmesi ve Matlab'ta durum-uzay formunda tanımlanması mümkündür. Böylece genelleştirilmiş transfer matrisi $G(s)$ 'teki D_{12} alt matrisinin full rank olma şartı da sağlanmış olur [9].

2.2. Dizayn Şeması

Şekil 4' te genel amaçlı bir H_∞ kontrolör dizayn akış şeması verilmiştir. Bu akış şeması RCT 'de bulunan sırasıyla *mksys.m*, *augtf.m*, *hinfopt.m* ve *branch.m* komutları kullanılarak yapılmıştır. Her bir bloktaki işlem akış diyagramında belirtilmiş, fakat kullanılan robot kolunun özelliğinden dolayı 3. bloktaki bilgilere ve bölüm 2.1'deki kriterlere ek olarak $W_3(s)$, özel bir durum olan robot kolu modelinin nominal kısmı $P(s)$ 'in sağ yarı s-düzlemindeki kutba göre [11]'de belirtilen yöntem kullanılarak seçilmiştir. Denklem (3)'te verilen sistem $p = 1.1681'$ de reel bir kutba sahiptir ve M_T hedeflenen $T(s)$ 'in maksimum pik değeri olmak üzere $W_3(s)$;

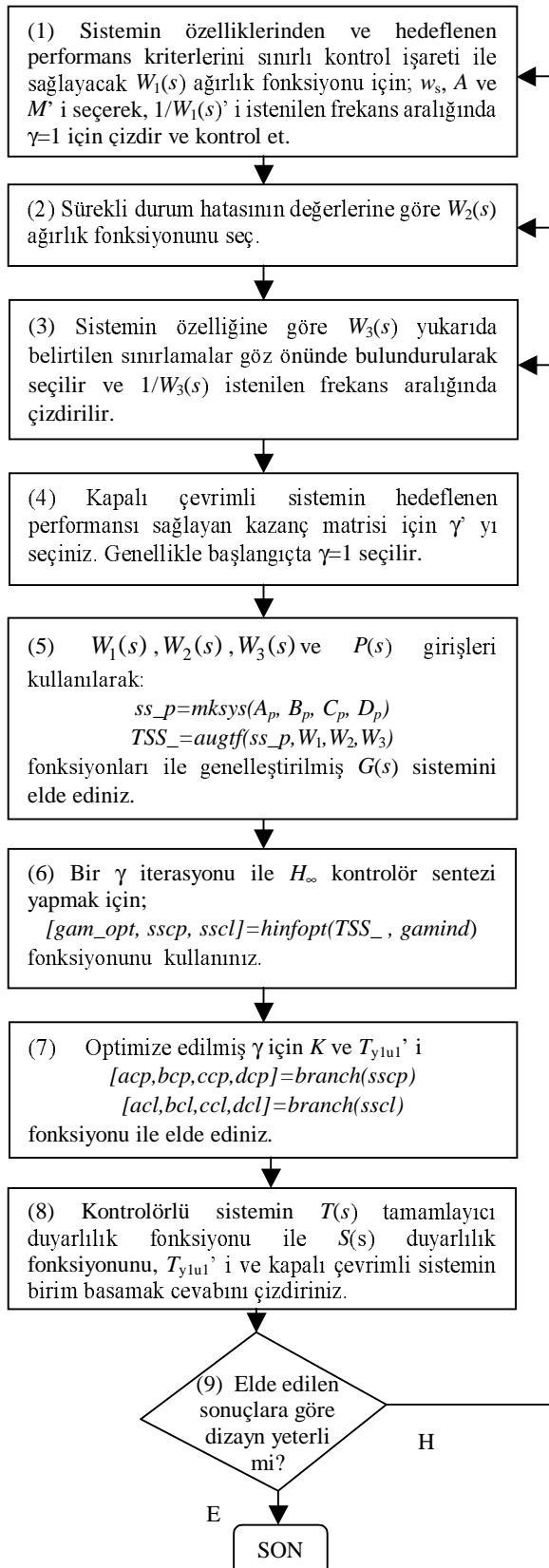
$$W_3(s) = \frac{s}{\omega_T} + \frac{1}{M_T} \quad (13)$$

dir. Burada ω_T hedeflenen $T(s)$ 'in bant genişliğidir ve

$$\omega_T > p \frac{M_T}{M_T - 1} \quad (14)$$

sağlaması gereklidir [11].

Denklem (3)'te verilen sistem ile denklem (2)'deki sistem çıkışı *mksys* komutu kullanılarak uygun bir değişken oluşturulur. Bu değişkenle ağırlık fonksiyonları W_1 , W_2 ve W_3 'ün bileşiminden elde edilen denklem (11)'deki form *augtf* komutu ile elde edilir. Kontrolör, seçilen performansa göre *hinfopt* komutu kullanılarak uygun *gamind* girişi ile optimal olarak dizayn edilir. Şekil 4' teki şemada verilen 7. adımda γ , kontrolör $K(s)$ ve T_{ylu1} gözlenir. 8. adımda da kapalı çevrimli sistemin performansı incelenir.



Şekil 4: H_∞ kontrolör dizaynı için basit bir akış diyagramı.

Dizaynın yeterli olup olmadığına ise 9. adımda karar verilerek uygunsa kontrolörün dizayn işlemine son

verilir. Uygun değilse uygun olmayan duruma ait ağırlık fonksiyonu üzerindeki parametreler maniple edilerek dizayn işlemi tekrarlanır.

2.3. Kontrolör Dizaynı

Denklem (3)' te verilen tek-eklemlı robot kolunun birim geri beslemeli duyarlılık fonksiyonu

$$S(s) = \frac{s^2 + 24s - 29.4}{s^2 + 48s - 5.4} \quad (15)$$

dir ve şekil 2' de olduğu gibi tamamlayıcı duyarlılık fonksiyonu ile çizdirilerek $S(s)$ ' in bant genişliği 1.28 rad/sn ve maksimum pik değeri ise $\|S\|_\infty = 5.4442$ olduğu görülebilir. Hedeflenen performans kriterleri $\omega_s=1.2$ rad/sn, sürekli durum hatası $A = 1e-5$ ve maksimum pik genliği $M = 6$ olarak seçilirse, bölüm 2.1' de tanımlanan $W_1(s)$ ağırlık fonksiyonu,

$$W_1(s) = \gamma \frac{s/6 + 1.2}{s + 1.2 \times 10^{-5}} \quad (16)$$

dir. Bölüm 2.2' deki kriterlere göre $M_T = 2$ ve $\omega_T > p$ şartı göz önünde bulundurularak $\omega_T = 3$ seçilirse denklem (13)' te tanımlanan $W_3(s)$ ağırlık fonksiyonu,

$$W_3(s) = \frac{2s+3}{6} \quad (17)$$

dir. Kontrolör genliğindeki sınırlama $W_2(s) = 10^{-7}$ ve $\gamma = 1$ seçilirse şekil 4' teki akış diyagramında verilen dizayn prosedürü gereği hesaplanan kontrolöre göre elde edilen $S(s)$ $W_1^{-1}(s)$ ile ve $T(s)$ $W_3^{-1}(s)$ ile karşılaştırılarak 9. aşamada verilen dizayn kriterlerine göre uygunluk için karar verilir. Burada $\gamma = 0.3$ için uygun olduğu görüldü ve buna ilişkin kontrolör $K(s)$ ve optimal γ ,

$$K(s) = 368.6 \frac{s^2 + 25.3277s + 3.961}{s^3 + 29575s^2 + 2956s + 0.03547} \quad (18)$$

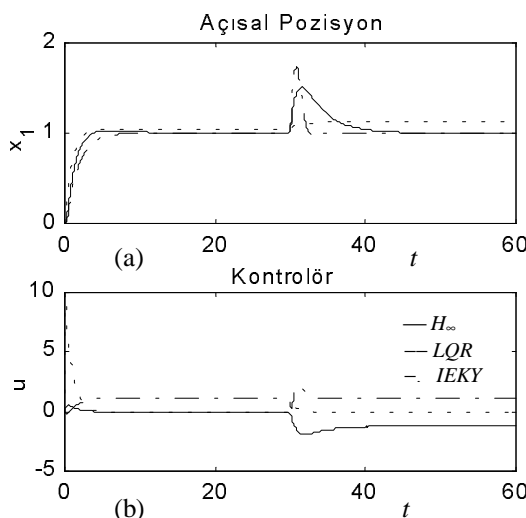
$$\gamma = 0.291 \leq 1$$

dir. Denklem (3)' te verilen sistem için dizayn edilen H_∞ kontrolörün performansı İntegral Etkin Kutup Yerleştirme (IEKY) ve Linear Quadratik Regulator (LQR) teknikleriyle karşılaştırılmıştır. Hedeflenen öz değerler $-1.4 \pm j1.4283$ ve -5 olarak seçilir ve denklem (3)' te verilen sisteme IEKY teknigi uygulanırsa, o zaman durum geri besleme kazanç vektörü $K = [1.1417 \ -0.6750]$ ve integral kazanç sabiti $k_I = 0.8333$ olarak bulunur [12]. LQR kontrolörde $Q = [1 \ 0; 1 \ 0]$ ve $R = [0.01]$ için kazanç vektörü $K = [11.3 \ 9.1]$ ' dir [12].

3. SONUÇ ve TARTIŞMA

H_∞ performansının şekil 1. (a)' da verilen sistemler için iyi olduğu teorik ve pratik olarak ispatlanmaktadır. Ancak burada parametre belirsizliği $0 \leq \Delta M \leq 0.3$ içeren bir robot kolundaki ΔM değişimine göre $\Delta M = 0.3$ alınarak dizayn edilen H_∞ kontrolörün birim basamak girişe karşılık performansı *LQR* ve *IEKY* ile karşılaştırılmıştır. Şekil 5. (a)' da $0 < t < 30$ zaman aralığında $\Delta M = 0$ ve $t = 30$ ' da $\Delta M = 0.3$ alınarak açısal pozisyon her üç kontrolör için verilmiştir. Şekil 5. (a)' daki H_∞ kontrolör parametre değişimine karşı birim basamak değerine her iki zaman aralığında da ulaşmaktadır. Ancak *LQR* kontrolör $0 < t < 30$ ' da $|e| = 0.045$ ' lik bir hatayla referans girişini takip etmektedir. $t > 30$ ' da ise bu hata daha da artarak 0.1216 ' lik sürekli bir hatayla giriş işaretini takip eder. *IEKY* kontrolörü ise $0 < t < 30$ aralığında sürekli duruma erişir. Fakat $t > 30$ aralığında geçici rejimde H_∞ ' den daha büyük bir genlik değerine ulaşarak osilasyonlu bir davranış gösterir.

Şekil 5. (b)' de kontrolör çıkışı karşılaştırıldığında H_∞ kontrolörün genliğinin uygun olduğu görülmektedir. Her ne kadar *IEKY* kontrolörün genliği düşük gözükse de bu ileri yöndeki integralin etkinliğinden dolayıdır. Eğer dizayn sadece kutup yerleştirme ile yapılmış olsaydı kontrolör genliği hedeflenen performansı sağlamak için oldukça büyük olacak ve sistemi süren birimin saturasyonda çalışmasına sebep olacaktı.



Şekil 5: (a) Açısal pozisyon x_1' in zamana göre değişimi, (b) Kontrolör çıkışı u' nun zamana göre değişimi.

Dolayısıyla sistem istenmeyen osilasyon moduna ulaşacak, doğrusal olmayan duruma gelecektir. Ancak biliindiği gibi *IEKY* ' de \mathcal{CGCC} sistemler için dizayn işlemi oldukça problemlidir. Halbuki H_∞ kontrolör,

Şekil 4' te verilen dizayn aşamaları hemen hemen aynı kalarak daha basit bir şekilde dizayn edilebilir.

H_∞ kontrolörün performansı denklem (1)' de verilen sistem modelindeki nonlinear, şekil 1. (a)' da verilen bozucu d ve gürültü n' e görede etkin olduğu görülebilir.

Sonuç olarak bu çalışmada *RCT* de verilen H_∞ kontrolör dizaynını için hedeflenen ağırlık foksiyonlarını temel alan bir dizayn akış diyagramı gerçekleştirilmiştir. Bu diyagarmdaki komutların işleyisi ve sınırlamaları *RCT* de verilmiştir. Özellikle kararsız bir sistem modeli seçilerek dizayn yapılmıştır.

KAYNAKLAR

- [1] Asada H. and Slotine J.J.E. *Robot Analysis and Control*; New York: Wiley, 1986.
- [2] Lewis F.L., Abdullah C.T., Dawson D. *Control of Robot Manipulators*. Maxwell-Macmillian: New-York, 1993.
- [3] Danker A. and Kaynak O. Applications of VSC in Motion Control System. Springer-Verlag: in *Variable Structure and Lyapunov Control*, (Ed. A. S. I. Zinobr), 1994; 364-387.
- [4] Ucar A. *A sliding mode controller/observer pair for rigid robot manipulators*; Leicester University, 1995.
- [5] Ucar A., Hamamci S.E. A controller based on Coffecient Diagram Method for the robotic manipulators. *The 7 IEEE International Conference on Electronics, Circuits and Systems*, 2000; 777-780.
- [6] Slotine J.J.E., Li W. *Applied Nonlinear Control*; Prentice-Hall: New Jersey, 1991.
- [7] Feng W. and Poslethwaite I. Robust non-linear H_∞ /adaptive control of robot manipulator motion. *Proc Instn Mech Engrs* 1994; **28**: 221-230.
- [8] Francis B.A., *A course in H_∞ control theory*, Lecture Notes in Control and Information Sciences, 88, 1987.
- [9] Skullestad Aa. and Gilbert J.M. H_∞ control of gravity gradient stabilised satellite. *Control Engineering Practice* 8 2000; 975-983.
- [10] The MathWorks, Inch, Robust Control Toolbox, 1996.
- [11] Skogestad S. and Poslethwaite I. *Multivariable Feedback Control Analysis and Design*; New York: Wiley, 1996.
- [12] Ogata K. *Modern Control Engineering*; Prentice Hall, 1990.